

# Análise de existência e comportamento de onda viajante para equações de Euler com relaxação

Eduardo Abreu, Abel Alvarez Bustos\*

Instituto de Matemática, Estatística e Computação Científica, IMECC, UNICAMP,  
13083-859, Campinas, SP  
E-mail: eabreu@ime.unicamp.br, abelalv@ime.unicamp.br,

Wanderson José Lambert

UFRRJ - Departamento de Matemática  
Campus Seropédica  
23890-000, Seropédica, RJ  
E-mail: wjlambert@ufrj.br.

**Resumo:** Neste trabalho estudamos um sistema de equações de Euler com relaxação generalizada. O sistema modelo de equações de Euler admite ainda um desacoplamento para sua solução. Inicialmente resolvemos o sistema como um problema de Riemann e aplicamos uma regularização a fim de tornar a solução de classe  $C^1$ . O sistema geral resultante deste procedimento é resolvido via técnica de curvas características. Mais do que isso, introduzindo um parâmetro  $\beta$  com base na modelagem física, estudamos condições para a existência de onda viajante, além de analisar a relação entre as escalas físicas da difusão e de relaxação.

**Palavras-chave:** Sistema incompressível de equações de Euler com relaxação generalizada, solução de Riemann, onda viajante e perfil viscoso.

## 1 Introdução

Estamos interessados em analisar a existência de choques com perfil viscoso para o seguinte sistema de equações de Euler com relaxação generalizada, via um parâmetro de velocidade  $\beta$ ,

$$\frac{\partial}{\partial t} \begin{bmatrix} \rho \\ m \\ E \end{bmatrix} + \frac{\partial}{\partial x} \begin{bmatrix} m \\ \frac{m^2}{\rho} + a^2 \rho \\ (\beta E + p)u \end{bmatrix} = \frac{1}{\epsilon} \begin{bmatrix} 0 \\ 0 \\ (\bar{E}(\rho, \rho u) - E) \end{bmatrix}, \quad (1)$$

no qual  $\rho$  é a densidade,  $m$  o momento linear,  $p$  a pressão e  $E$  a energia.  $\beta$  é um parâmetro que introduzimos para estudar a existência, ou não, de onda viajante dentro da solução, mas que tem uma justificativa física para o modelo em questão [6]. A quantidade  $\bar{E}(\rho, \rho u)$  é vista como a energia necessária para trazermos a temperatura  $T$  para uma temperatura de referência  $\bar{T}$  sem nenhuma mudança no momento ou energia do gás. Considerando a equação de estado para gases ideais politrópicos, a pressão pode ser escrita como (veja [4])  $p = R\rho\bar{T} = a^2\rho$ , no qual  $a\sqrt{R\bar{T}}$  é a velocidade do som. A energia de referência é escrita como  $\bar{E}(\rho, \rho u) = \frac{a^2\rho}{\gamma-1} + \frac{1}{2}\rho u^2$ . O termo  $\epsilon$  representa o chamado *tempo de relaxação*, que está associado ao tempo em que a energia  $E$  está longe da energia de equilíbrio  $\bar{E}(\rho, \rho u)$ . Do ponto de vista prático, apesar desse tempo ser bastante pequeno, ele é diferente de zero. Como estamos interessados em analisar a existência de ondas viajantes, e perfis viscosos, é útil que resolvamos o problema de Riemann associado

\*Bolsista de doutorado FAPESP - Processo FAPESP 11/23628-0

a este sistema, veja [2]. O problema de Riemann em questão consiste de (1) em conjunto das condições iniciais especiais:

$$\begin{cases} (m_l, \rho_l, E_l), & \text{se } x < 0, \\ (m_r, \rho_r, E_r), & \text{se } x > 0, \end{cases} \quad (2)$$

ou seja, condições que são constantes por partes.

Na Seção 2 descrevemos a solução do problema de Riemann (1)-(2), bem como uma regularização necessária para obtermos uma aproximação global da solução. Em seguida, na Seção 3, analisamos as condições sobre o parâmetro  $\beta$  para a existência de onda viajante.

## 2 Solução do Problema de Riemann

O sistema (1) tem uma peculiaridade bastante interessante. As duas primeiras equações para a densidade  $\rho$  e o momento  $m$  não dependem da energia. Dessa forma, podemos desacoplá-lo inicialmente em um sistema (hiperbólico)  $2 \times 2$  de leis de conservação, como segue:

$$\frac{\partial}{\partial t} \begin{bmatrix} \rho \\ m \end{bmatrix} + \frac{\partial}{\partial x} \begin{bmatrix} m \\ m^2/\rho + a^2\rho \end{bmatrix} = \begin{bmatrix} 0 \\ 0 \end{bmatrix}, \quad a \equiv \text{constante}, \quad t > 0, \quad -\infty < x < \infty, \quad (3)$$

e com dados iniciais de (2), tais que,

$$\rho(x, 0) = \begin{cases} \rho_l, & \text{se } x \leq 0, \\ \rho_r, & \text{se } x > 0, \end{cases} \quad m(x, 0) = \begin{cases} m_l, & \text{se } x \leq 0, \\ m_r, & \text{se } x > 0. \end{cases} \quad (4)$$

No presente trabalho, vamos analisar em detalhes o caso apenas em que  $\rho_l > \rho_r$  e  $m_l > m_r$ . Entretanto, a análise para todos os demais possíveis casos segue diretamente da mesma técnica aqui desenvolvida. É fácil de ver que (3) é estritamente hiperbólico, com autovalores distintos  $\lambda_1 = m/\rho - a$  e  $\lambda_2 = m/\rho + a$ . O subsistema (3)-(4) tem como solução (ver, e.g., [2]),

$$\rho = \begin{cases} \rho_l, & x < t \lambda_1(\rho_l, m_l), \\ \rho(x/t), & t \lambda_1(\rho_l, m_l) \leq x < t \lambda_1(\rho_m, m_m), \\ \rho_m, & t \lambda_2(\rho_m, m_m) \leq x < t s, \\ \rho_r, & t s \leq x, \end{cases} \quad m = \begin{cases} m_l, & x < t \lambda(\rho_l, m_l), \\ m(x/t), & t \lambda(\rho_l, m_l) \leq x < t \lambda(\rho_m, m_m), \\ m_m, & t \lambda(\rho_m, m_m) \leq x < t s, \\ m_r, & t s \leq x, \end{cases} \quad (5)$$

no qual  $(\rho_m, m_m)$  é um estado intermediário,  $s = \frac{m_r - m_l}{\rho_l - \rho_r}$  é a velocidade do choque e

$$\rho\left(\frac{x}{t}\right) = \rho_l \exp\left\{-\left(\frac{x}{t} - \eta_l\right)/a\right\}, \quad m\left(\frac{x}{t}\right) = \rho_l \left(\frac{x}{t} + a\right) \exp\left\{-\left(\frac{x}{t} - \eta_l\right)/a\right\}. \quad (6)$$

A solução (5) de (3)-(4) consiste de um estado constante  $(\rho_l, m_l)$ , seguida por uma rarefação  $(\rho(x/t), m(x/t))$ , depois por um estado constante  $(\rho_m, m_m)$ , seguido por um choque de velocidade  $s$  conectando  $(\rho_m, m_m)$  a  $(\rho_r, m_r)$ ; veja a Figura 1. A solução dada por (5), torna-se apenas uma função de  $x$  e  $t$  no plano  $x - t$ . Como estratégia para encontrar a solução podemos utilizar a técnica das características para calcular a solução da  $E = E(x, t)$  (ver, e.g., [3]). Entretanto, para podermos aplicar a técnica das curvas características, precisamos resolver um conjunto de equações diferenciais ordinárias para fluxos contínuos, o que não é o caso pois tanto  $m$  quanto  $\rho$  apresentam descontinuidades ao longo do eixo  $x$ . Por outro lado, podemos supor por um momento que  $\rho = \rho(x, t)$  e  $m = m(x, t)$  são suficientemente suaves. Assim, por meio da equação para a energia em (1) podemos escrever:

$$E_t + E_x \frac{\beta m}{p} = -E \left( \left[ \frac{m}{p} \right]_x + \frac{1}{\epsilon} \right) + \frac{1}{\epsilon} \left( \frac{a^2 p}{\gamma - 1} + \frac{1}{2} \frac{m^2}{p} \right) - [m]_x, \quad (7)$$

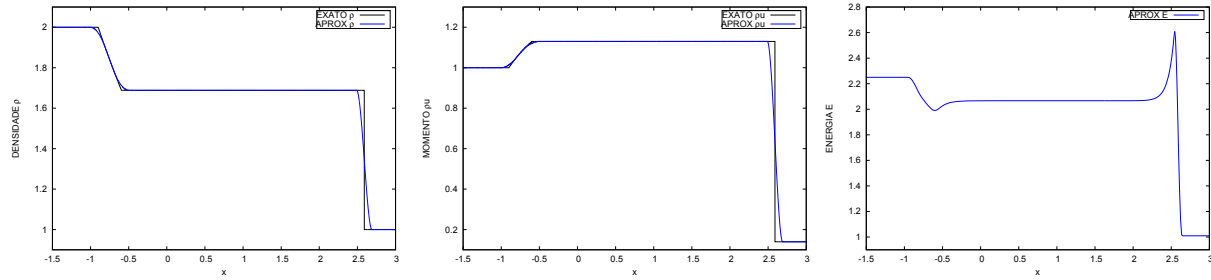


Figura 1: Soluções para  $\rho$  (esquerda) e  $m$  (centro), e suas respectivas aproximações. À direita encontra-se a solução para a energia  $E$ . Note que ocorre um pico justamente nesta solução. Usamos  $(\rho_l, m_l) = (2, 1)$  e  $(\rho_r, m_r) = (1, 0.13)$  e tempo de impressão da solução  $t = 1.8$ .

com  $E(x, 0) = E_l$ , se  $x < 0$  e  $E(x, 0) = E_r$ , se  $x > 0$ . A solução sobre as características fica,

$$\frac{dx}{dt} = \frac{\beta m}{p}, \quad \frac{dE}{dt} = -E \left( \left[ \frac{m}{p} \right]_x + \frac{1}{\epsilon} \right) + \frac{1}{\epsilon} \left( \frac{a^2 p}{\gamma - 1} + \frac{1}{2} \frac{m^2}{\rho \tau} \right) - [m]_x, \quad (8)$$

com condições iniciais,

$$x(0) = x_i, \quad \text{com} \quad E(x, 0) = E_l, \quad \text{se} \quad x < 0 \quad E(x, 0) = E_r, \quad \text{se} \quad x > 0. \quad (9)$$

Como a solução 5 exibe descontinuidades nos choques e não é diferenciável nos pontos iniciais e finais das rarefações, precisamos regularizar as soluções  $\rho$  e  $m$  a fim de conseguirmos resolver o sistema (8)-(9). Vamos encontrar funções  $\rho_\tau, m_\tau \in C^1(\mathcal{R})$ , dependendo de um parâmetro  $\tau$  de modo que se  $\tau \rightarrow 0$  então  $\rho_\tau, m_\tau$  convergem para  $\rho$  e  $m$  dados por (5). Essa convergência é considerada na norma  $L^p$  para qualquer  $1 \leq p$ .

Para buscar tais funções, procuramos polinômios que são suaves na vizinhança de  $\rho$ , os quais dependem de  $\tau$ . Para o ponto  $t\lambda_1(\rho_l, m_l)$  é necessário um polinômio de terceiro grau da forma  $p(z) = a_3 z^3 + a_2 z^2 + a_1 z + a_0$ ,  $z \in [t\lambda_1(\rho_l, m_l) - \tau, t\lambda_1(\rho_l, m_l) + \tau]$ , com as seguintes propriedades, para  $\lambda_{1,l} = \lambda_1(\rho_l, m_l)$  e  $\lambda_{1,m} = \lambda_1(\rho_m, m_m)$ , talque:

$$p_1(t\lambda_{1,l} - \tau, t) = \rho_l, \quad p_1'(t\lambda_{1,l} - \tau, t) = 0, \quad p_1(t\lambda_{1,m} + \tau, t) = \rho_m, \quad p_1'(t\lambda_{1,m} + \tau, t) = \rho'(x/t). \quad (10)$$

Para obter a solução de (10), resolve-se um sistema linear  $4 \times 4$  [1] para descobrir o único polinômio com coeficientes  $a_0, a_1, a_2$  e  $a_3$ . Por meio de cálculos similares conseguimos regularizar o problema e encontrar soluções aproximadas, que dependem do parâmetro  $\tau$  (ver [1]):

$$\rho_\tau = \begin{cases} \rho_l, & \text{se } x < t\lambda_{1,l} - \tau, \\ p_1(x), & \text{se } t\lambda_{1,l} - \tau \leq x < t\lambda_{1,l} + \tau, \\ \rho(\frac{x}{t}), & \text{se } t\lambda_{1,l} + \tau \leq x < t\lambda_{1,m} - \tau, \\ p_2(x), & \text{se } t\lambda_{1,m} - \tau \leq x < t\lambda_{1,m} + \tau, \\ \rho_m, & \text{se } t\lambda_{1,m} + \tau \leq x < ts - \tau, \\ p_3(x), & \text{se } ts - \tau \leq x < ts + \tau, \\ \rho_r, & \text{se } ts + \tau \leq x, \end{cases} \quad m_\tau = \begin{cases} m_l, & \text{se } x < t\lambda_{1,l} - \tau, \\ q_1(x), & \text{se } t\lambda_{1,l} - \tau \leq x < t\lambda_{1,l} + \tau, \\ m(\frac{x}{t}), & \text{se } t\lambda_{1,l} + \tau \leq x < t\lambda_{1,m} - \tau, \\ q_2(x), & \text{se } t\lambda_{1,m} - \tau \leq x < t\lambda_{1,m} + \tau, \\ m_m, & \text{se } t\lambda_{1,m} + \tau \leq x < ts - \tau, \\ q_3(x), & \text{se } ts - \tau \leq x < ts + \tau, \\ m_r, & \text{se } ts + \tau \leq x. \end{cases} \quad (11)$$

Na Figura 1, descrevemos a solução e o formato das regularizações da solução, Substituímos (11) dentro de (8)-(9) e obtemos, como solução

$$E(\tau) = \exp(-\tau/\epsilon + 1)E_0 + \exp(-\tau/\epsilon) \int_0^\tau \exp(s/\epsilon) \left[ \frac{1}{\epsilon} \left( \beta \rho + \frac{m^2}{2\rho} \right) - m_x \right] ds, \quad (12)$$

onde  $\eta = x/t$ ,  $\rho(\eta) = \rho_l \exp\{-(\eta - \eta_l)/a\}$  and  $m(\eta) = \rho_l(\eta + a) \exp\{-(\eta - \eta_l)/a\}$ . Na Figura 1, exibimos a solução de  $E$  para um valor de  $\beta = 1$ . Apesar da mudança da solução induzida

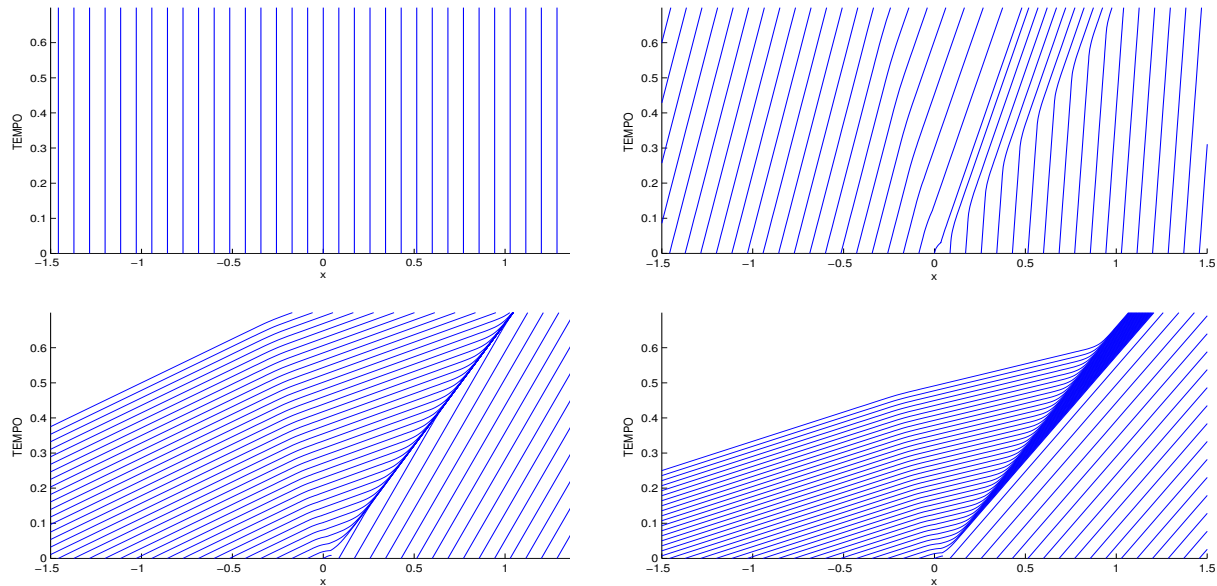


Figura 2: **Esquerda Acima:** Curvas características paralelas para  $\beta = 0$ . **Direita acima:** ( $\beta = 1$ ) Note que há uma região parecida como um leque de rarefação, após a curva saindo de  $x = 0$ . A curva de choque de velocidade  $s$  do sistema  $(\rho, m)$  irá atravessar as características influenciando a solução da energia  $E$ : a solução não exibirá perfil viscoso neste caso. **Esquerda Abaixo:** ( $\beta = 8$ ) Observe que as curvas características “parecem” todas colidir (o que não acontece, de fato, devido à unicidade da solução para as curvas características no plano  $x - t$ ): a solução exibe perfil viscoso. Aqui a curva de choque atravessa a solução das curvas características fazendo a solução se acumular em torno do choque  $s$ . **Direita abaixo:** ( $\beta = 12$ ) Comportamento parecido com o caso anterior. Entretanto, as curvas se acumulam mais rapidamente: aqui a solução também exibe um perfil viscoso.

pela variação do parâmetro  $\beta$ , como veremos na próxima seção, temos que qualitativamente *visualmente* a solução não se altera substancialmente. Neste contexto, uma análise bastante relevante é considerar as curvas características para diferentes valores de  $\beta$ , o que fazemos na Figura 2. Note que quando os valores de  $\beta$  aumentam, as curvas de onda vão se inclinando até quase se colapsarem no plano  $x - t$ .

### 3 Condições para a existência da onda viajante

A solução dada por (11)-(12) é uma solução que reflete o comportamento qualitativo de (1)-(2). É verdadeiramente incomum a existência de uma variação tão abrupta na solução. De fato, isso ocorre devido ao fato de existir variações abruptas da variável  $m$ ; note que sua derivada aparece de forma explícita no lado direito de (8). Entretanto, um questionamento bastante natural é: *qual é a natureza desse onda?* Observamos por meio de várias simulações numéricas [1], que tal onda não modifica seu perfil ao longo da evolução para *tempos longos* (comportamento assintótico). Dessa forma, é igualmente natural questionar seria esta uma *onda viajante* (ver, e.g., [2]).

A onda viajante é uma das inúmeras técnicas utilizadas para selecionar os choques que são fisicamente viáveis [2, 5]. A existência da onda viajante é uma das principais ferramentas de análise em problemas envolvendo leis de conservação para dizer se um choque, de fato, provém de um sistema físico. Dessa forma é natural utilizarmos tal técnica para analisarmos sob quais condições a onda contendo um pico  $E$  é uma onda viajante.

A maioria de sistemas modelando fenômenos físicos exibe *difusão* devido a diferentes fatores influenciando o movimento dos fluidos. Para tanto, nós admitimos que o sistema possui uma difusão de ordem  $\eta$ , que é justificada pela natureza física do modelo de Euler com fricção e

gravidade com uma equação de Darcy parabólica em meios porosos [6]. A difusão irá influenciar, principalmente, as variáveis  $\rho$  e  $m$  nas duas primeiras equações. A equação para energia possui um termo de relaxação que sob as hipóteses de condições sub-características, veja [5, 4], funciona como um termo de dissipação. De fato, o sistema (1) satisfaz as condições sub-características. Dessa forma o sistema (1) é escrito como:

$$\begin{aligned} \frac{\partial}{\partial t} \rho + \frac{\partial}{\partial x} m &= \eta \frac{\partial^2}{\partial x^2} \rho, \\ \frac{\partial}{\partial t} m + \frac{\partial}{\partial x} \left( \frac{m^2}{\rho} + a^2 \rho \right) &= \eta \frac{\partial^2}{\partial x^2} m, \\ \frac{\partial}{\partial t} E + \frac{\partial}{\partial x} \left[ \beta E \frac{m}{\rho} + a \frac{m^2}{\rho} \right] &= \frac{1}{\epsilon} \left( \frac{a^2 \rho}{\gamma - 1} + \frac{1}{2} \frac{m^2}{\rho} - E \right). \end{aligned} \tag{13}$$

A pergunta relevante aqui é: sob quais condições, o choque conectando  $(\rho_m, m_m)$  e  $(\rho_r, m_r)$ , comporta-se como uma onda viajante? Ou seja, para uma variável  $U^\eta = (\rho, m, E)$ , a solução de (13) pode ser escrita em um sistema de coordenadas viajantes  $\frac{x - st}{\eta}$ , onde  $U^\eta = U \left( \frac{x - st}{\eta} \right)$ , tal que  $s = \frac{m_r - m_m}{\rho_r - \rho_m}$  é a velocidade do choque. Para a nova variável  $\eta$  a existência do perfil viscoso, está associada a existência de uma onda conectando o estado  $(\rho_m, m_m, E_m)$  quando  $\eta \rightarrow -\infty$  até o estado  $(\rho_r, m_r, E_r)$  quando  $\eta \rightarrow +\infty$ .

Substituindo  $U^\eta = (\rho, m, E)$  no sistema (13) e aplicando a regra da cadeia, obtemos um sistema de equações diferenciais ordinárias de segunda ordem:

$$\begin{aligned} \frac{-s}{\eta} \frac{d\rho}{d\xi} + \frac{1}{\eta} \frac{dm}{d\xi} &= \frac{\eta}{\eta^2} \frac{d^2 \rho}{d\xi^2}, \\ \frac{-s}{\eta} \frac{d\rho}{d\xi} + \frac{1}{\eta} \frac{dm}{d\xi} \left( \frac{m^2}{\rho} + a^2 \rho \right) &= \frac{\eta}{\eta^2} \frac{d^2 m}{d\xi^2}, \\ -s \frac{dE}{d\xi} + \frac{d}{d\xi} \left[ \beta E \frac{m}{\rho} + a \frac{m^2}{\rho} \right] &= \frac{\eta}{\epsilon} \left( \frac{a^2 \rho}{\gamma - 1} + \frac{1}{2} \frac{m^2}{\rho} - E \right). \end{aligned} \tag{14}$$

Integrando no intervalo  $(-\infty, \xi)$  as duas primeiras equações (14) e usando o fato que  $\frac{d}{d\xi} \rho$  e  $\frac{d}{dm} \rho$  se anulam (pois são equilíbrios) em  $-\infty$ , obtemos o sistema de primeira ordem conectando equilíbrios:

$$\frac{d}{d\xi} \rho = -s\rho + m + s\rho^- - m^-, \tag{15}$$

$$\frac{d}{d\xi} m = -sm + \frac{m^2}{\rho} + a^2 \rho + sm^- - \left( \frac{m^2}{\rho} \right)^- - a^2 \rho^-, \tag{16}$$

$$\frac{d}{d\xi} E = \frac{1}{(-s + \beta \frac{m}{\rho})} \left[ -E \left( \frac{\eta}{\epsilon} + \beta \frac{d}{d\xi} \left( \frac{m}{\rho} \right) \right) - a \frac{d}{d\xi} \left( \frac{m^2}{\rho} \right) + \frac{\eta}{\epsilon} \left( \frac{a^2 \rho}{\gamma - 1} + \frac{1}{2} \frac{m^2}{\rho} \right) \right]. \tag{17}$$

Escrevendo  $V = (\rho, m, E)^T$  e  $F(V) = (F_1(V), F_2(V), F_3(V))^T$ , com os  $F_i(V)$  em cada um dos 3 lados direitos de (15). O sistema (15) é escrito na forma vetorial como  $\frac{dV}{dt} = F(V)$ . Note que os pontos  $(\rho_m, m_m, E_m)$  e  $(\rho_r, m_r, E_r)$  onde  $E_m = \frac{a^2 \rho_m}{\gamma - 1} + \frac{1}{2} \frac{m_m^2}{\rho_m}$  e  $E_r = \frac{a^2 \rho_r}{\gamma - 1} + \frac{1}{2} \frac{m_r^2}{\rho_r}$ , respectivamente, são pontos de equilíbrio, o qual nos motiva fazer um estudo em torno desses equilíbrios. Para tanto, linearizamos o sistema  $\frac{dV}{dt} = F(V)$ . Os autovalores associados a esta linearização são  $\lambda_1 = -s + \frac{m^-}{\rho^-} - a$ ,  $\lambda_2 = -s + \frac{m^-}{\rho^-} + a$  e  $\lambda_3 = \frac{\eta + \beta \frac{d}{d\xi} \left( \frac{m}{\rho} \right)}{s - \beta \frac{m}{\rho}}$ . Além disso, observe que os dois primeiros autovalores não dependem de  $E$ . Então podemos desacoplar o sistema (15)

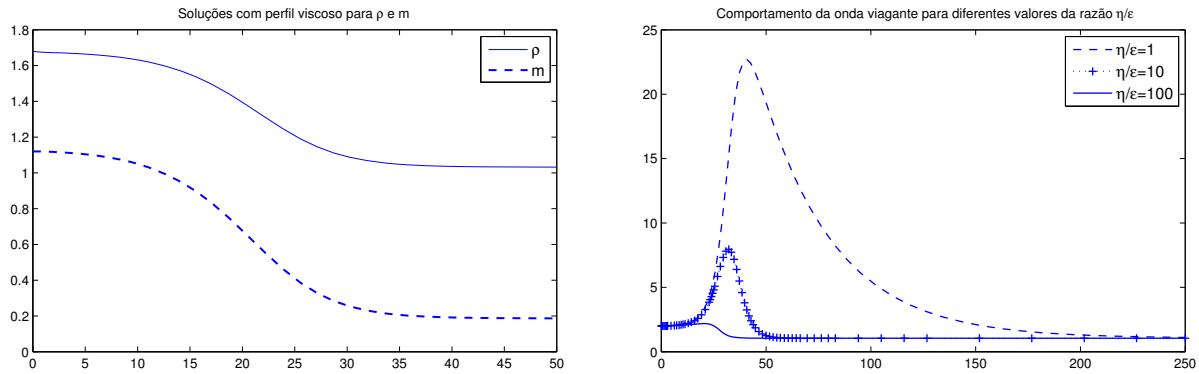


Figura 3: **Esquerda.** Perfil viscoso para as variáveis  $(\rho, m)$ . Os estados dos equilíbrios sendo conectados são  $(\rho_m = 1.68, m_m = 1.12)$  e  $(\rho_r = 1, m_r = 0.13)$ . **Direita.** Solução da órbita conectando os equilíbrios  $E_m$  e  $E_r$  para diferentes relações entre  $\eta/\epsilon$ .

-(17) em nossa análise para a existência de conexão de órbitas ligando equilíbrios no plano  $(\rho, m)$  e depois realizar um análise para a variável energia  $E$ . Para o equilíbrio em  $(\rho_m, m_m)$  é possível mostrar que o equilíbrio é do tipo sela, de modo que a dimensão do espaço repulsor é 1. Para o equilíbrio em  $(\rho_r, m_r)$  é possível mostrar que o ponto de equilíbrio é um atrator, gerando um espaço de dimensão 2. Observe, que neste caso o espaço de conexão ligando os equilíbrios será 3. Isto, tipicamente acontece, com choques do tipo Lax. A existência dessa conexão é conhecida e pode ser encontrada em [2], veja também a Figura 3.

Estamos interessados, entretanto, em analisar a existência de uma órbita conectando os estados  $E_r$  até  $E_m$ . Observe, via equação (15), que o comportamento qualitativo da solução da EDO acompanhará, principalmente, o sinal do coeficiente multiplicando  $E$ . Ou seja,  $-\frac{\eta/\epsilon + \beta \frac{d}{d\xi}(m/\rho)}{(-s + \beta(m/\rho))}$ . Por outro lado, por meio da Figura 3 (e analiticamente) podemos observar que  $m/\rho$  é constante em  $(\rho_m, m_m)$  e depois é decrescente até conectar novamente o equilíbrio em  $(\rho_r, m_r)$ , então  $\frac{d}{d\xi}(m/\rho) = 0$  em  $(\rho_m, m_m)$  e  $(\rho_r, m_r)$ ; e  $\frac{d}{d\xi}(m/\rho) < 0$  para os valores em que  $\rho$  e  $m$  variam. O mesmo comportamento vale para  $\frac{d}{d\xi}(m^2/\rho)$ , ou seja,  $\frac{d}{d\xi}(m^2/\rho)$  será zero nos equilíbrios e negativo no interior da região de conexão.

Para o comportamento global da solução, temos duas análises a serem feitas. Para a primeira análise, estudamos o caso em que  $s > \beta(m/\rho)$ . Por meio de (17), podemos ver que o comportamento depende fortemente da relação das escalas  $\eta/\epsilon$  os quais podem ser subdivididas em:

(1) Razão  $\eta/\epsilon$ , tal que inicialmente tenhamos  $dE/d\xi > 0$ . O sinal de  $dE/d\xi$  só é positivo devido ao fato das variáveis  $\rho$  e  $m$ , e suas derivadas, serem limitadas pois tais variáveis são solução do sistema (15)-(16). Dessa forma  $E$  irá crescer até valores satisfazendo em que a derivada satisfaça  $dE/d\xi = 0$ , o qual é um máximo. Tal máximo é limitado e é obtido quando a função energia  $E$  iguala-se a uma relação entre as variáveis  $\rho$  e  $m$  através da seguinte relação:

$$E = \left( a \frac{d}{d\xi} \left( \frac{m^2}{\rho} \right) - \frac{\epsilon}{\eta} \left( \frac{a^2 \rho}{\gamma - 1} + \frac{1}{2} \frac{m^2}{\rho} \right) \right) \left( \frac{\epsilon}{\eta} + \beta \frac{d}{d\xi} \left( \frac{m}{\rho} \right) \right)^{-1}. \quad (18)$$

Note que  $E$  é limitado e que se  $\epsilon \ll \eta$ , ou seja, a relaxação ocorre numa escala menor que a escala da difusão, o pico praticamente não aparece; por outro lado se  $\eta \gg \epsilon$ , ou seja, a difusão ocorre numa escala menor do que a relaxação, o pico é mais acentuado. Após o máximo da derivada,  $dE/d\xi < 0$  e portanto  $E$  vai diminuindo. Observe que o sistema não atinge mais o equilíbrio, pois  $dE/d\xi < 0$  para os subsequentes valores de  $E$ , o qual tende a  $-\infty$ .

(2) Razão  $\eta/\epsilon$ , tal que inicialmente tenhamos  $dE/d\xi < 0$  desde o início. Por meio da EDO para  $E$ , podemos ver que neste caso não há pico e a solução diverge até  $-\infty$ .

Em ambos os casos acima não há órbita conectando equilíbrios. Se formos estudar mais cuidadosamente as características da Figura (2) percebemos que para valores pequenos de  $\beta$ , as

características exibem, praticamente, um *leque* de rarefação após a curva iniciando-se em  $x = 0$  (note-se que isto não é uma rarefação). Apesar disso o formato da onda  $E$  fica parecido ao de um perfil viajante, pois a relaxação atua muito fortemente e faz com que os valores dessa região tenda ao equilíbrio de modo bastante rápido. Mas note via Figura 2 que o choque atravessa as características da equação da energia  $E$ , influenciando a solução por um período de tempo longo não podendo assim exibir um perfil viajante.

Para o segundo caso, admitimos que  $s < \beta(m/\rho)$ . Então, pelo mesmo motivo afirmado anteriormente, temos que  $dE/d\xi > 0$ . Neste caso a solução para energia  $E$  irá crescer até atingir valores satisfazendo  $dE/d\xi = 0$ , o qual é um máximo. Tal máximo é limitado e é obtido quando a relação (18) é satisfeita. Entretanto, note a partir da Equação (17) que até o momento em que  $E$  satisfaz (18) este é um equilíbrio instável para a variável  $E$ . A partir desse momento temos  $dE/d\xi < 0$ . Note, entretanto, que como  $(-s + \beta(m/\rho)) > 0$ , então a EDO é estável, ou seja,  $E$  tende a valores limitados, quando  $\xi \rightarrow \infty$ ,  $\frac{d}{d\xi}(m/\rho)$  e  $\frac{d}{d\xi}(m^2/\rho)$  vão a zero e a solução tende ao equilíbrio. Dessa forma, existe a órbita conectando os estados.

Se olharmos para as características da Figura 2 percebemos que para valores grandes de  $\beta$ , as características estão muito próximas ao ponto de parecerem colidir (não colidem, devido ao teorema de existência e unicidade de equações diferenciais ordinárias, ver. e.g., [3]). Neste caso as características atravessam o choque de velocidade  $s$  e a informação tem uma descontinuidade justamente nesta onda, fazendo com que o perfil de solução seja viajante, conforme solução do sistema (15)-(18), o que resumimos como:

**Proposição 3.1.** *O sistema de Euler (1) com condições do tipo (2), e estados  $\rho_l > \rho_r$  e  $m_l > m_r$ , exibe uma onda conectando  $E_m$  e  $E_l$  sendo um choque com perfil viscoso viajando com velocidade  $s = (m_m - m_l)/(\rho_m - \rho_r)$ , para  $\beta > s(\rho/m)$ . Tal onda é não monotônica, possuindo um máximo satisfazendo (18). Caso  $\beta < s(\rho/m)$ , a onda conectando tais estados não é uma onda viajante exibindo perfil viscoso. Além disso, a altura do pico depende exclusivamente da relação entre as escalas da difusão  $\eta$  e da relaxação  $\epsilon$ .*

## Referências

- [1] A. A. Bustos, *Sistemas de leis de balanço em problemas de dinâmica de fluidos em meios porosos: modelagem matemática e aproximação numérica*. Tese em Preparação.
- [2] C. Dafermos, *Hyperbolic Conservation Laws in Continuum Physics*, Third Ed., Springer, 2009.
- [3] F. John, *Partial Differential Equations*, Fourth Ed., Springer, c1982.
- [4] R.J. Le Veque, *Finite Volume Methods for Hyperbolic Problems*, Cambridge Texts in applied Mathematics, UK, 2002.
- [5] T-P Liu, Hyperbolic conservation laws with relaxation Communications in Mathematical Physics 108(1) 153-175 1987.
- [6] P. Marcati, The One-Dimensional Darcy's Law as the Limit of a compressible Euler Flow, Journal of Differential Equations, 84 (1), 129-146, 1990.